



# GF3003

# Ciencias Atmosféricas

Laura Gallardo Klenner

Departamento de Geofísica de la Universidad de Chile

Primavera 2010

LGK 2010

# HOY: Vientos y dinámica

- Principios de conservación en la atmósfera: ecuaciones de Navier-Stokes
- Intentos de pronóstico del tiempo
- Escala sinóptica
- Aproximaciones a escala sinóptica
  - Balance hidrostático
  - Balance geostrófico
- Curvatura y viento gradiente
- Fricción y su efecto



# Más específicamente, el/la alumno/a será capaz de:

- Reconocer la aplicación de los principios de conservación de momentum, masa y energía en el caso del fluido atmosférico (Ec. de Navier –Stokes)
- Familiarizarse con el desarrollo del pronóstico numérico del tiempo
- Reconocer y caracterizar la escala sinóptica
- Explicar y hacer aplicaciones simples de los balances geostrófico, hidrostático y considerando fricción a nivel de superficie



**En la atmósfera rige la segunda ley de Newton**

$$\sum \vec{F} = m\vec{a}$$

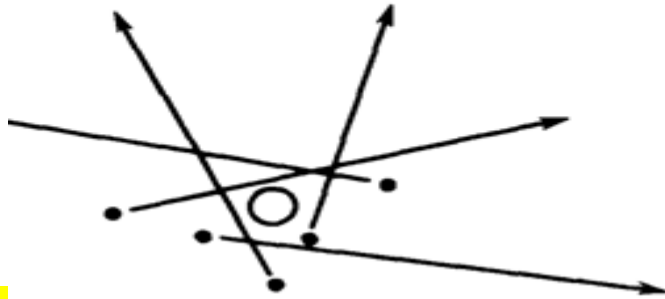
**Pero siendo un sistema en rotación, se corrige por Coriolis y por centrífuga:**

$$\sum \vec{F} = m(\vec{a} + 2\vec{\Omega} \times \vec{v} - \Omega^2 \vec{r})$$

**Y además se conservan la masa y la energía**

# La atmósfera como un medio continuo

Discontinuo

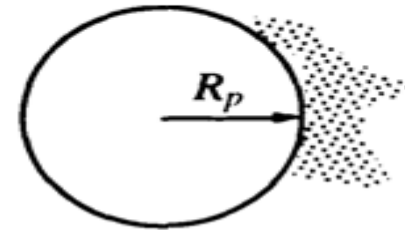


$$\sum \vec{F} = m\vec{a}$$

$m$

$T, p, \vec{v} \dots$

Continuo



$$\sum f = \vec{a}$$

$\rho$

$T, p, \vec{v} \dots$

En cada unidad de volumen infinitesimal quedan bien definidas las variables. Esto es, las variables son continuas y derivables

# Formalmente, en la atmósfera:



1871-1949

**Número de (Martin)  
Knudsen**

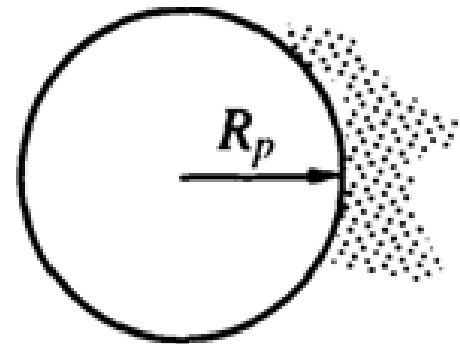
Caracteriza cuán  
continuo es el fluido c/r  
transporte de la partícula  
y sus propiedades

$$K_n = \frac{\lambda}{R}$$

$\lambda$  : camino libre medio

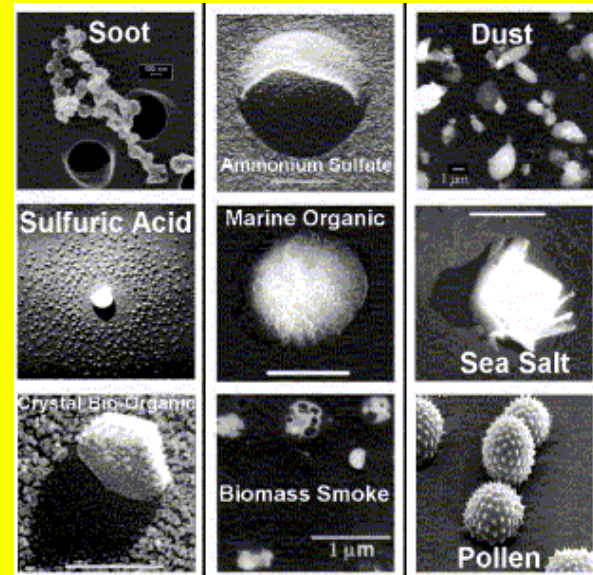
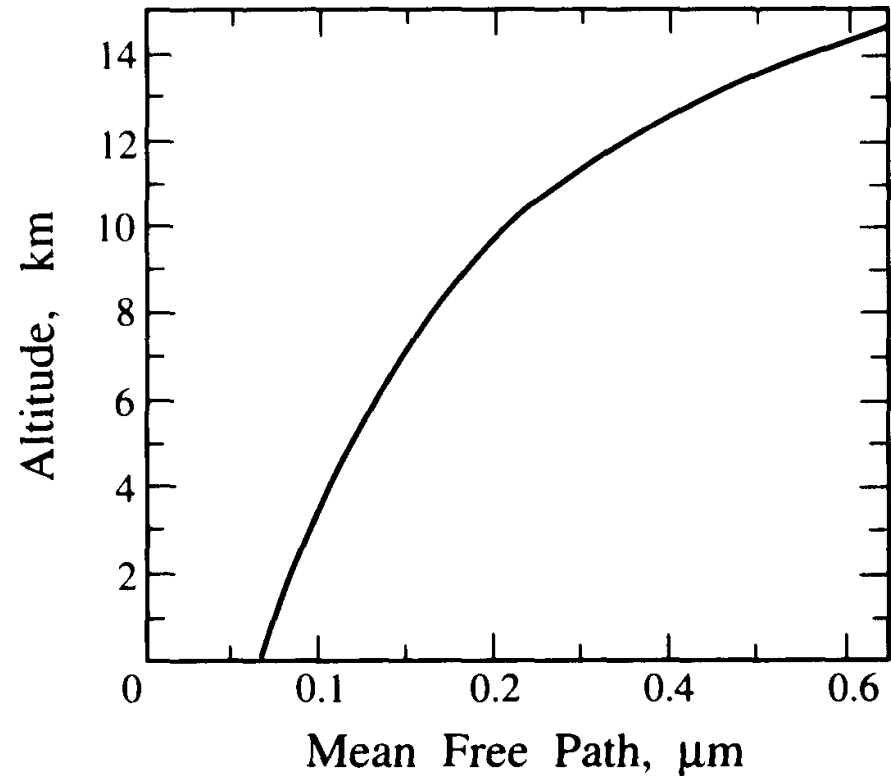
$R$  : radio de la partícula

$$K_n = \frac{\lambda}{R} \rightarrow 0 \quad (\text{Continuo})$$

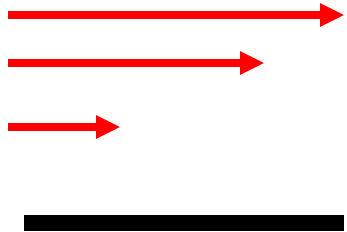


LGK 2010

¿Qué pasa con la aproximación del continuo si se considera la sedimentación de un núcleo de condensación?

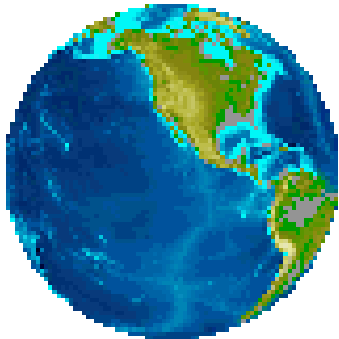
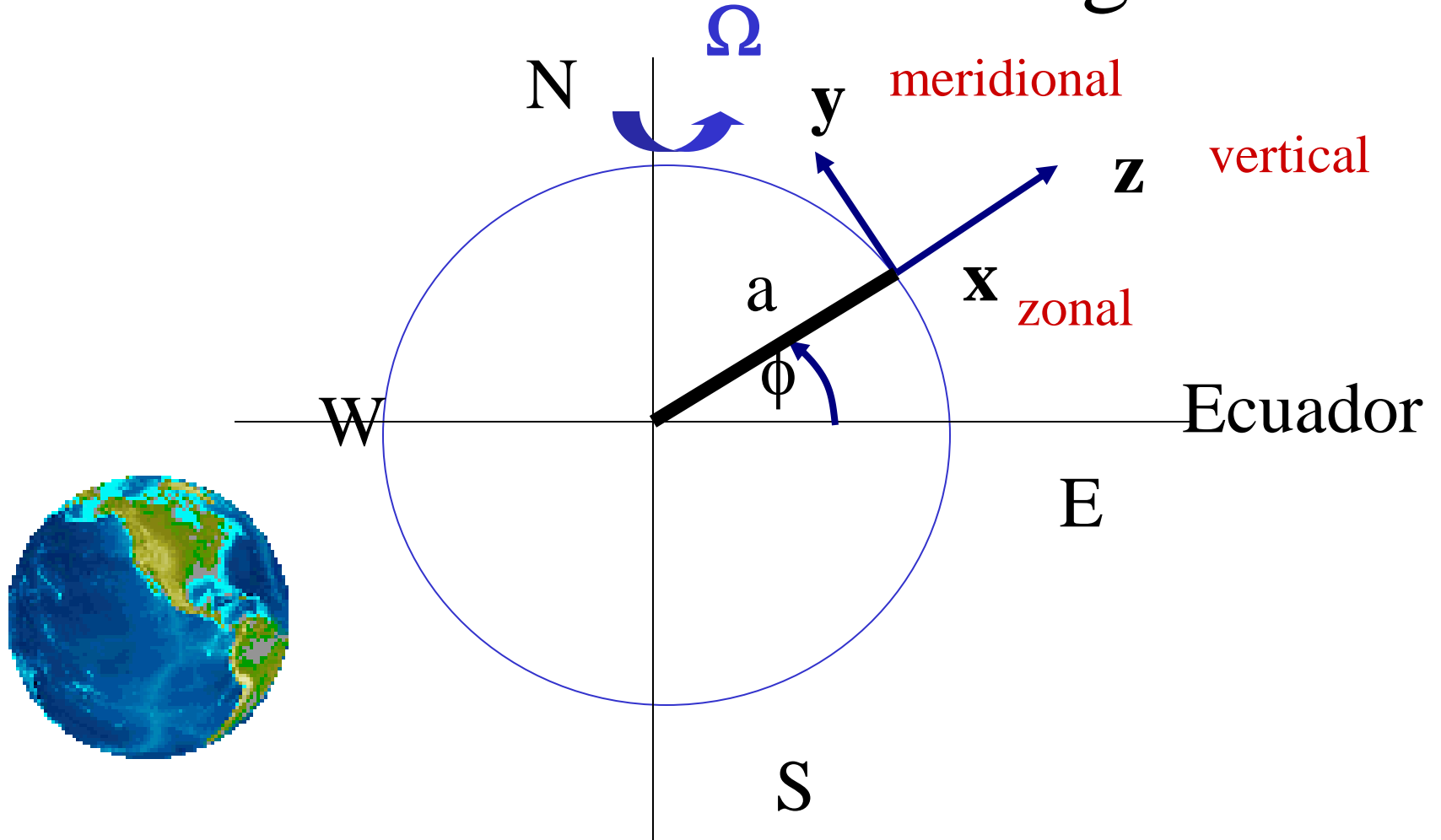


# Las fuerzas reales son:

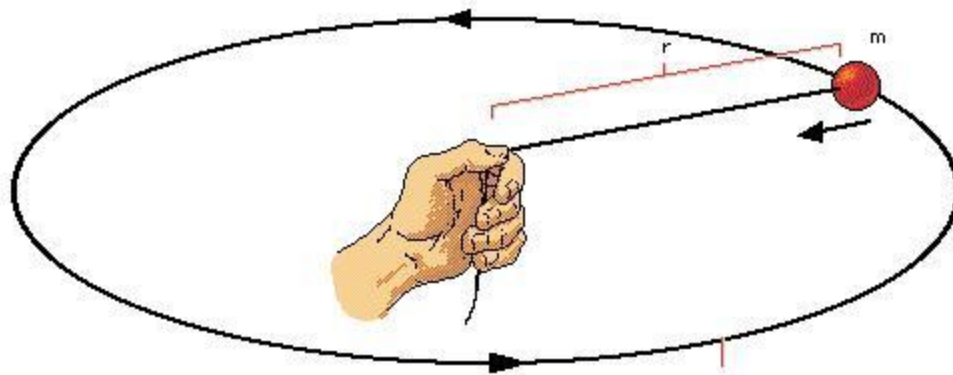
- Gradiente de presión  $\frac{F_{\Delta p}}{m} = -\frac{1}{\rho} \vec{\nabla} p$
- Gravitacional  $\frac{F_G}{m} = -\frac{GM_{\text{Tierra}}}{r^2} \hat{r} \approx -g \hat{r}$
- Roce, fricción o cizalle 



# Coordenadas Meteorológicas



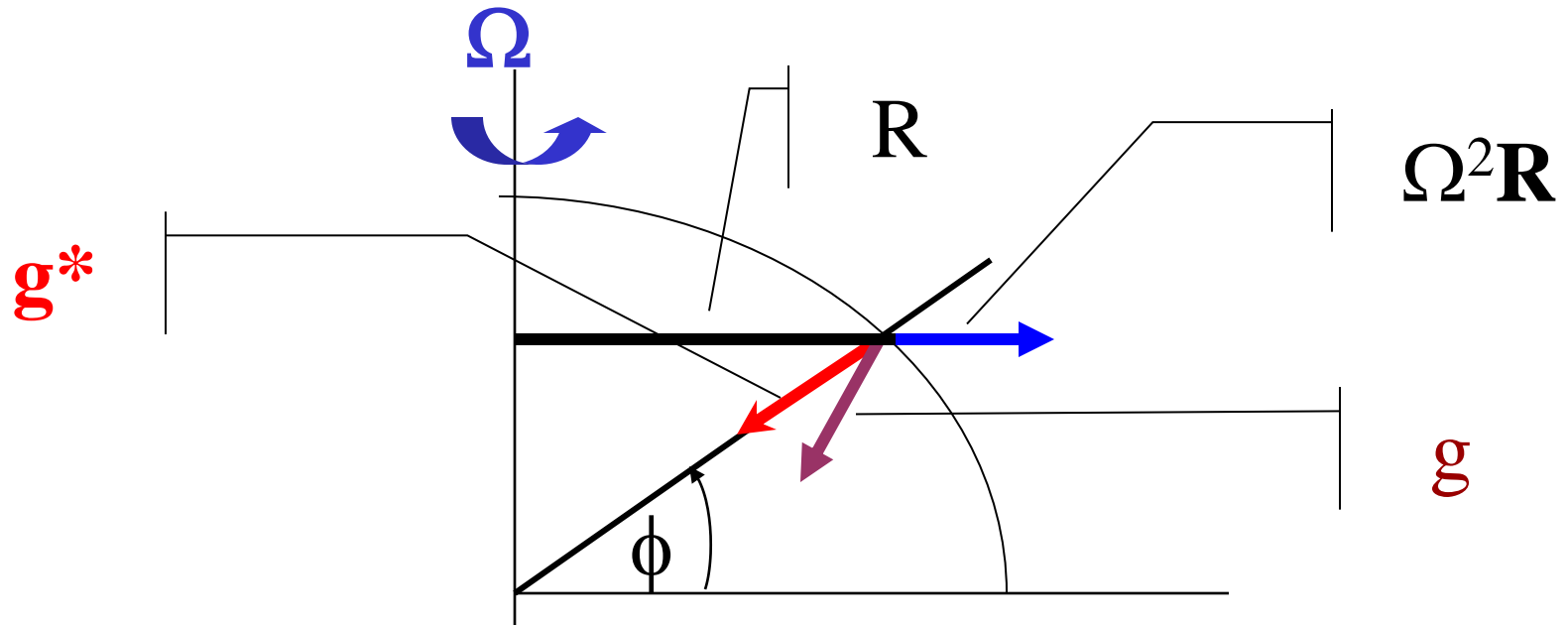
# Movimiento circular....



$$\vec{F} = m\vec{a}_c = -m \frac{v^2}{r} \hat{r} = -mr\omega^2 \hat{r}$$



# El efecto centrífugo

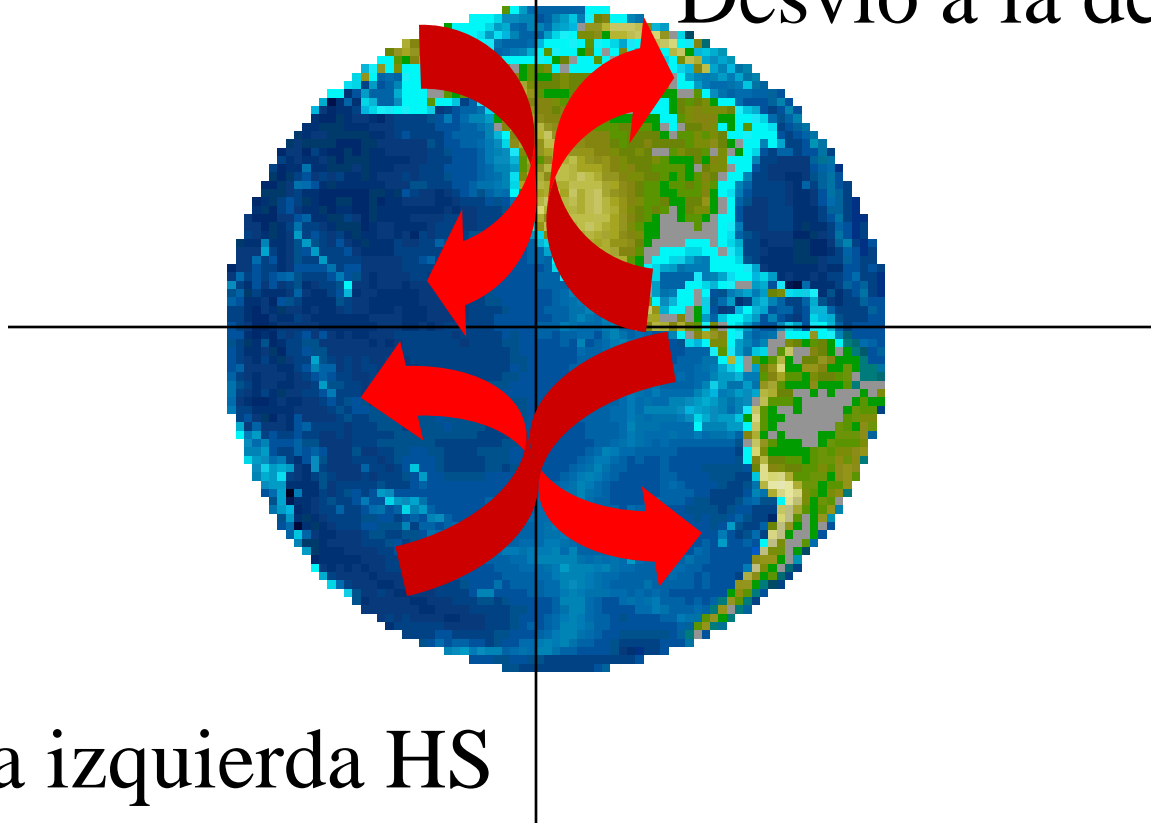


$$\vec{g} = -\frac{GM_{\text{Tierra}}}{r^2} \hat{r} + \Omega^2 \vec{r} = \vec{g}^* + \Omega^2 \vec{R}$$

# El efecto de Coriolis

$$\sum \vec{f} = m(\vec{a} + 2\vec{\Omega} \times \vec{v} - \Omega^2 \vec{r})$$

Desvío a la derecha HN



Desvío a la izquierda HS

# Coriolis Effect...the british way.. Reading University



<http://www.met.reading.ac.uk/users/?usersearch=&staffonly=1>



LGK 2010

<http://www.youtube.com/watch?v=Wda7azMvabE>

# NASA for kids



Ver también: <http://techtv.mit.edu/videos/3714-the-coriolis-effect>

LGK 2010

[http://www.nasa.gov/audience/forstudents/brainbites/nonflash/bb\\_home\\_corioliseffect.html](http://www.nasa.gov/audience/forstudents/brainbites/nonflash/bb_home_corioliseffect.html)

Y claro, la energía se conserva...

$$c_v \frac{dT}{dt} + p \frac{d\alpha}{dt} = \frac{dQ}{dt}, \alpha = \frac{1}{\rho}$$

*En un volumen de aire, la energía interna cambia si hay transformación entre energía térmica y mecánica y/o por efectos de radiación, conducción o transf. de calor latente.*

Y la masa se conserva...

$$\frac{\partial \rho}{\partial t} = \nabla \cdot (\rho \vec{v})$$

**Lavoisier, 1789**





## Conservación del momentum

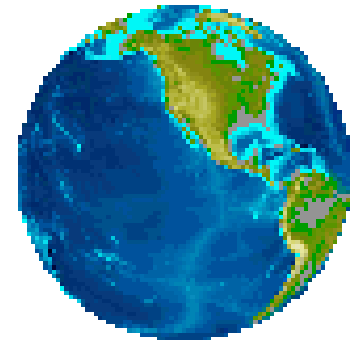
$$\hat{x} : \frac{du}{dt} - \frac{uv \tan \varphi}{a} + \frac{uw}{a} = -\frac{1}{\rho} \frac{\partial p}{\partial x} + 2\Omega v \sin \varphi - 2\Omega w \cos \varphi + F_x$$

$$\hat{y} : \frac{dv}{dt} + \frac{u^2 \tan \varphi}{a} + \frac{vw}{a} = -\frac{1}{\rho} \frac{\partial p}{\partial y} + 2u \sin \varphi + F_y$$

$$\hat{z} : \frac{dw}{dt} + \frac{u^2 + v^2}{a} = -\frac{1}{\rho} \frac{\partial p}{\partial z} - g + 2\Omega u \cos \varphi + F_z$$

## Conservación de la energía

$$c_v \frac{dT}{dt} + p \frac{d\alpha}{dt} = \frac{dQ}{dt}, \alpha = \frac{1}{\rho}$$



## Conservación de la masa

$$\frac{d\rho}{dt} = -\rho \nabla \cdot \vec{v}$$

$$\{u, v, w, T, p, \rho\} \quad \forall \quad \{\vec{r}, t\}$$

## Ecuación de estado para gas ideal

$$p = \rho RT$$

LGK 2010

$$\frac{d}{dt} = \frac{\partial}{\partial t} + \vec{v} \cdot \nabla$$

# Ecuaciones de Navier-Stokes



Claude-Louis Navier  
1785-1836

## Newton's second law

$$\frac{D_r u}{Dt} - \frac{uv \tan \phi}{r} - 2\Omega \sin \phi v + \frac{c_{pd} \theta}{r \cos \phi} \frac{\partial \Pi}{\partial \lambda} = - \left( \frac{uw}{r} + 2\Omega \cos \phi w \right) + S^u$$

$$\frac{D_r v}{Dt} + \frac{u^2 \tan \phi}{r} + 2\Omega \sin \phi u + \frac{c_{pd} \theta}{r} \frac{\partial \Pi}{\partial \phi} = - \left( \frac{vw}{r} \right) + S^v$$

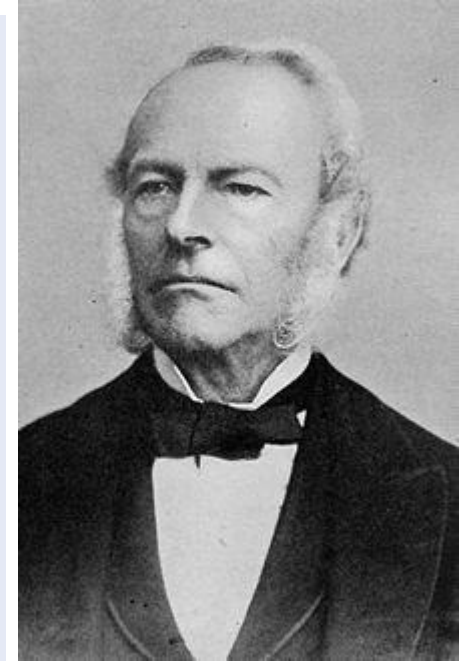
$$\frac{D_r w}{Dt} + c_{pd} \theta \frac{\partial \Pi}{\partial r} + \frac{\partial \Pi}{\partial r} = \left( \frac{u^2 + v^2}{r} \right) + 2\Omega \cos \phi u + S^w$$

## mass continuity

$$\frac{D_r}{Dt} (\rho_d r^2 \cos \phi) + \rho_d r^2 \cos \phi \left[ \frac{\partial}{\partial \lambda} \left( \frac{u}{r \cos \phi} \right) + \frac{\partial}{\partial \phi} \left( \frac{v}{r} \right) + \frac{\partial w}{\partial r} \right] = 0$$

## thermodynamics

$$\frac{D_r \theta}{Dt} = S^\theta$$

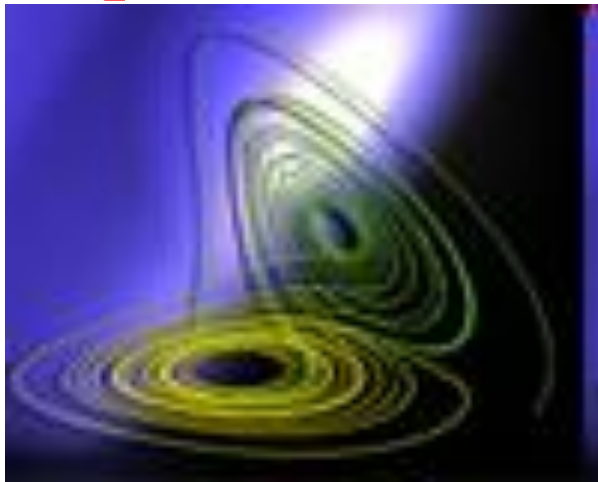


George G. Stokes  
1819-1903

No lineales, sin solución analítica....caóticas

Las ecuaciones que describen la evolución del estado atmosférico son integrables en el tiempo si se conocen las CI y CB pero:

- El sistema es caótico y por ello los errores (en las CI) se propagan y crecen limitando la predictabilidad



# Pausa (10 minutos)

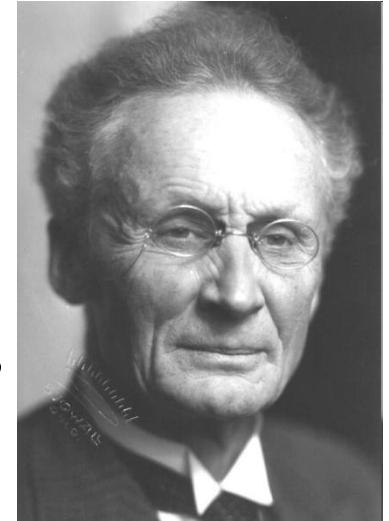


# Formulación del problema de pronóstico de tiempo(~ 1904)...



**Vilhelm Bjerknes (1862-1951)**  
was a professor of applied mechanics  
and mathematical physics at the  
**University of Stockholm**, where his  
research revealed the fundamental  
interaction between fluid- and  
thermodynamics

Later: Professor at:  
Oslo 1907  
Leipzig 1912



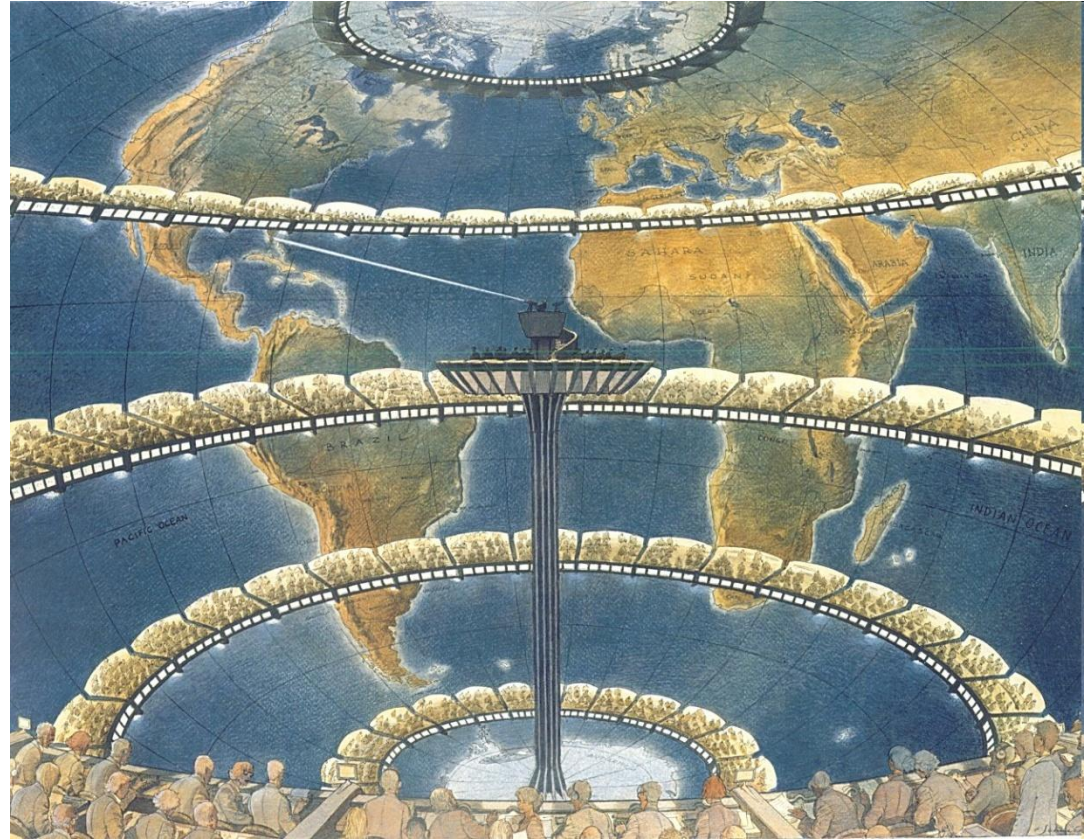
# By 1922, Lewis Fry Richardson

Diferencias  
finitas



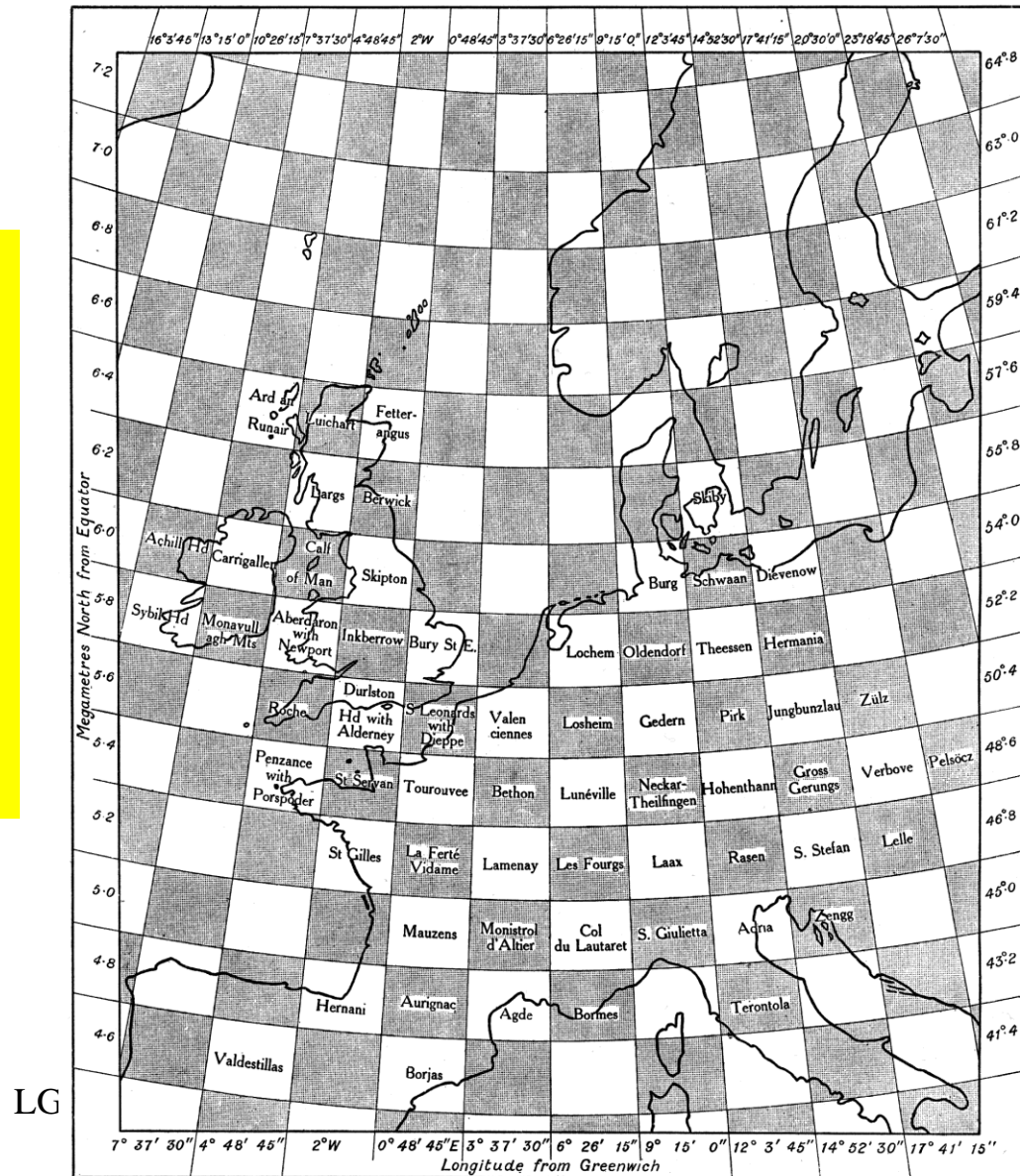
Richardson thought he would probably be able to calculate weather (using the **forecast factory**) only about as fast as it actually happens :

*"a large hall like a theatre... the walls of this chamber are painted to form a map of the globe... A myriad computers [people, not machines in 1911] are at work upon the weather of the part of the map where each sits... The man [1911] in charge of the whole theatre... is like the conductor of an orchestra in which the instruments are slide-rules and calculating machines."*



# Las CI de Richardson

Richardson's forecast failed dramatically, predicting a huge 145 mbar rise in pressure over 6 hours when the pressure actually stayed more or less static...after 6 weeks/2 years of calculations ☹️



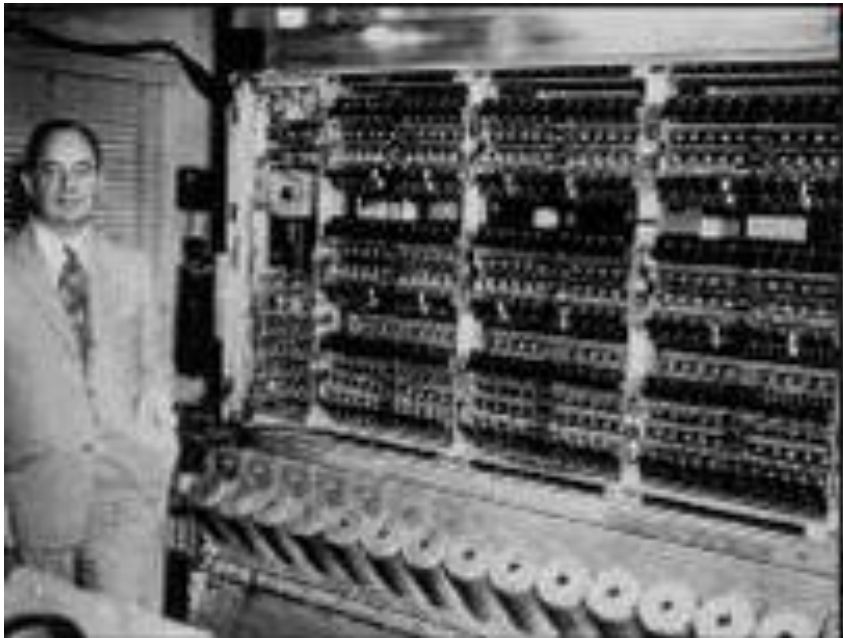


# Si las ecuaciones son las correctas, ¿por qué falló Richardson?

- Insuficiente entendimiento de la dinámica atmosférica
- Falta de algoritmos computacionales estables para integrar las ecuaciones
- Ausencia de observaciones regulares en la atmósfera libre
- **Inexistencia de equipos computacionales automáticos**

# Y unos 30 años más tarde

Now, those 64,000 human "computers" envisioned by Richardson could be replaced by a single machine, albeit one that filled a 30 x 50 foot room.



John von Neumann  
and the Electronic  
Numerical Integrator  
and Computer  
(ENIAC)  
(Princeton, USA,  
~1948).

<http://celebrating200years.noaa.gov/foundations/welcome.html>

# También, Charney & Rossby habían propuesto simplificaciones ...



Jule Charney (1917-1981)



Gustav Rossby (1898-1957)

*Generic structure of dynamical systems that model stratified, layerwise-2D vortical motion:*

(prognostic:)  $\frac{DQ}{Dt} = (\text{small terms}) \quad \left( \frac{D}{Dt} = \frac{\partial}{\partial t} + \mathbf{u} \cdot \nabla \right)$

Rossby 1936 (ref. [99] in Appendix III)

(diagnostic:)  $\mathbf{u} = \mathcal{F}_u(Q)$  (invertibility principle)

(functional)

Charney 1948; Kleinschmidt 1950

*Q. J. Roy. Met. Soc.* **111**, 877, and **113**, 402.

(Reminder:) Simplest model example is 2D vortex dynamics, called the one-layer barotropic model in the atmosphere-ocean literature. (As earlier.) The inversion operator  $\mathcal{F}_u$  is then defined, assuming suitable boundary conditions, by

$$\mathcal{F}_u(Q) : \begin{cases} \nabla^2 \psi = Q - Q_{\text{planetary}} \\ \mathbf{u} = (u, v) = \left( -\frac{\partial \psi}{\partial y}, \frac{\partial \psi}{\partial x} \right) \end{cases}$$

In real atmosphere and oceans: PV is Rossby-Ertel PV

$$\frac{H}{L} \sim \frac{f}{N} \sim 10^{-2} \quad \mathcal{F}_u, \mathcal{F}_T \text{ nonlinear (often only weakly)}$$

(Prandtl's ratio of scales)  
but qualitatively like one-layer case.

Geostrophic or higher balance needs to be assumed (further discussion in Appendix III, pp.19 - 24.)

**Almost all the dynamical info** (winds, temperatures, adiabatic vertical motion/cooling rate) **in one scalar, Q!**

non-gravity-wave

LGK

## First real-time operational NWP

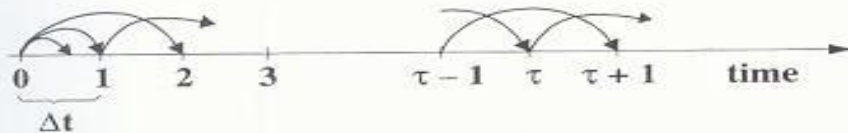
### The Barotropic model

$$\frac{D}{Dt} (\zeta + f) = 0 \quad f = 2\Omega \sin \phi$$

$$\frac{\partial}{\partial t} \nabla^2 \phi = J(\zeta + f, \phi)$$

$\phi$  = geopotential height       $m$  = mapfactor

$$\zeta^{\tau+1} = \zeta^{\tau-1} + 2\Delta t J \left( m^2 \zeta^{\tau} + f, \phi^{\tau} \right) \quad \zeta = \frac{1}{f_0} \nabla^2 \phi$$



		$\phi^{\tau}$	$\zeta^{\tau-1}$	
a) Compute	$\zeta^{\tau} = \frac{1}{f_0} \nabla^2 \phi^{\tau}$	$\phi^{\tau}$	$\zeta^{\tau-1}$	$\zeta^{\tau}$
b) Compute	$J^{\tau}$	$J^{\tau}$	$\zeta^{\tau-1}$	$\zeta^{\tau}$
c) Extrapolate	$\zeta^{\tau+1} = \zeta^{\tau-1} + 2\Delta t J^{\tau}$	$J^{\tau}$	$\zeta^{\tau+1}$	$\zeta^{\tau}$
d) Solve the Poisson eq.	$\zeta^{\tau+1} = \frac{1}{f_0} \nabla^2 \phi^{\tau+1}$	$\phi^{\tau+1}$	$\zeta^{\tau}$	

14  
bits

13  
bits

13  
bits

Integration area:

20 x 20 grid points;  $\Delta s = 300$  km;  $\Delta t = 1$  hr.

## Modelo barotrópico

### El modelo

correcto...dado el poder  
computacional y la  
información...y el  
objetivo

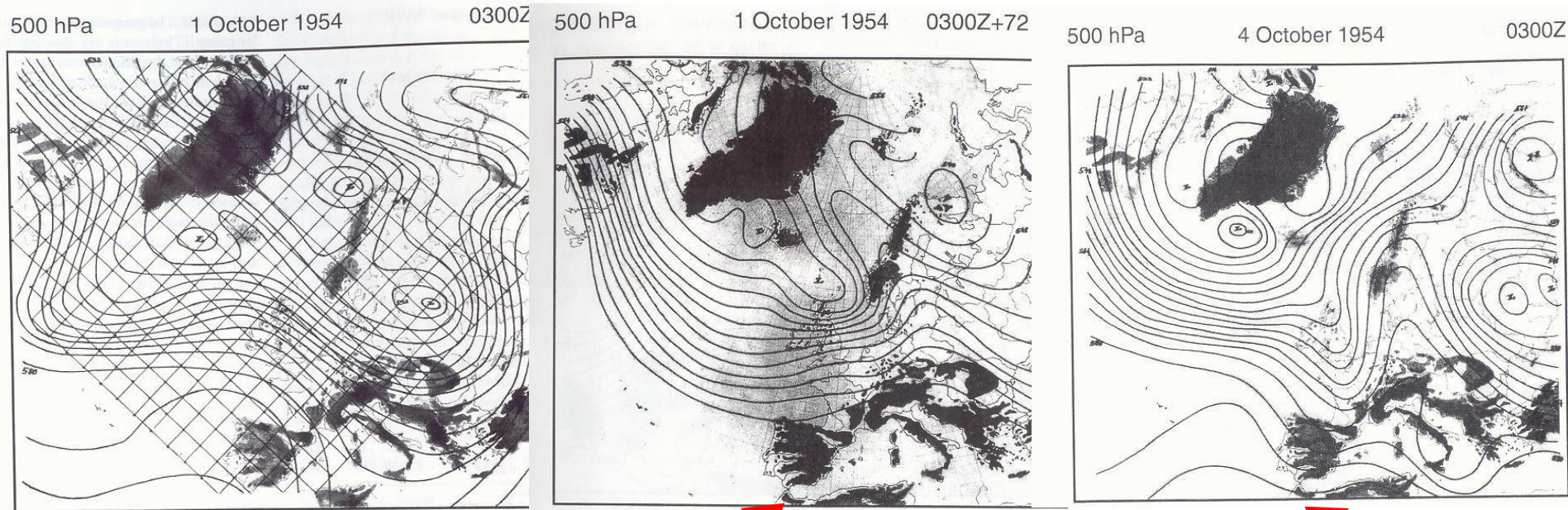
...todavía la idea de  
Richardson

Staff Members of the Institute of Meteorology, University of Stockholm, "Results of Forecasting with the Barotropic Model on an Electronic Computer (BESK)," *Tellus* 6 (1954): 139-149.

# El primer pronóstico

**operacional...modelo barotrópico**

Stockholm. 1954 (*Tellus* 6, 139-149)



**CI-Observada**

**Pronóstico a 3 días**

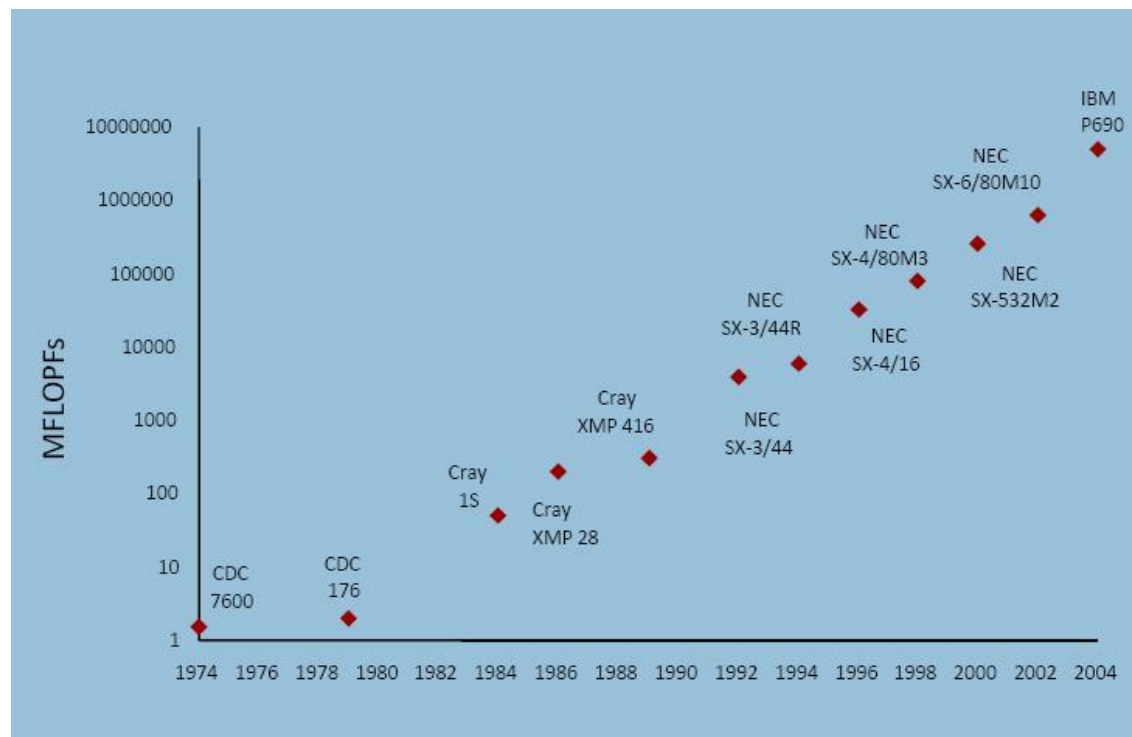
**Observación**

**Noticeable resemblance!**

## Comparison of ECMWF's latest supercomputer with its first one

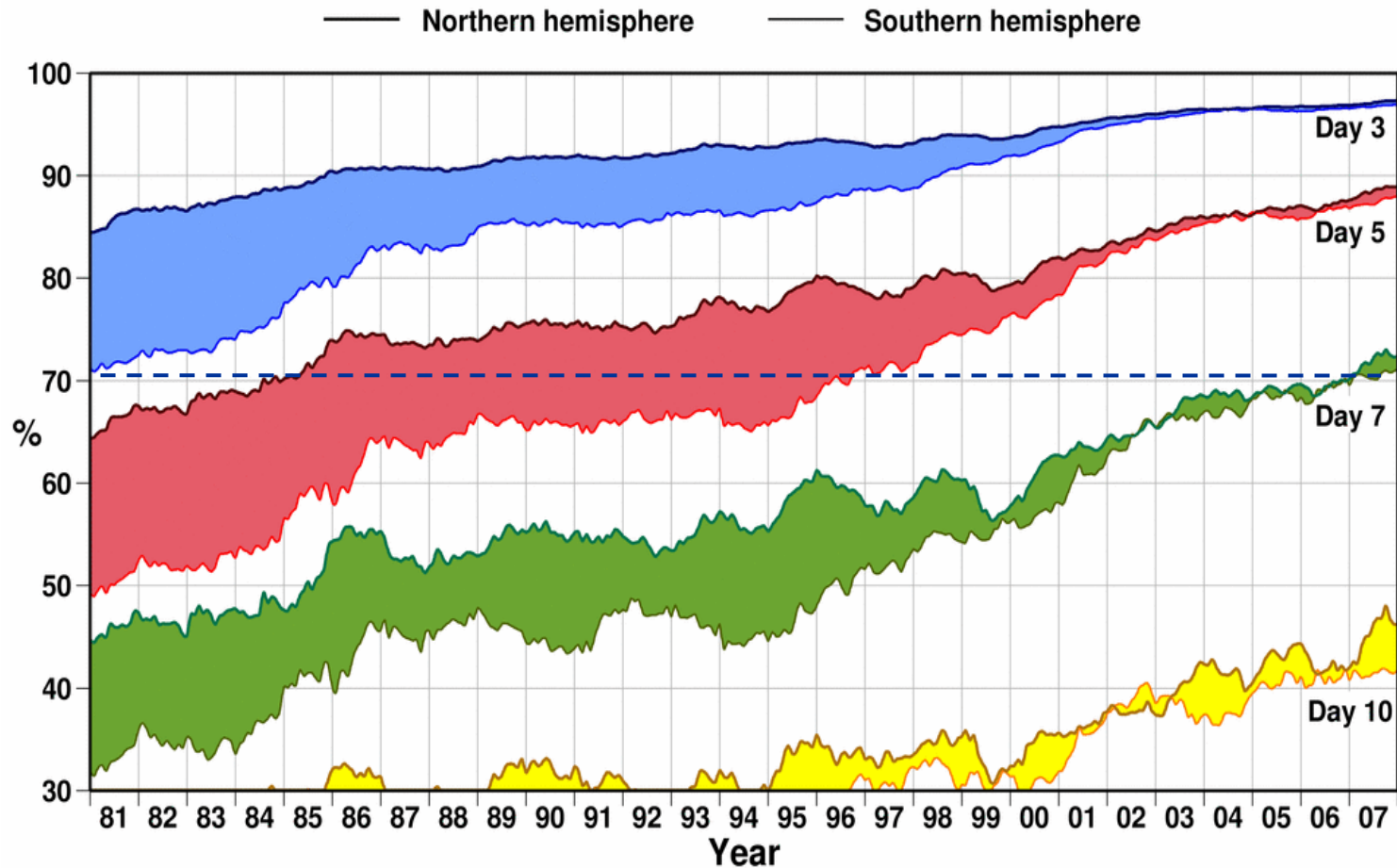
Specification	Cray-1A	IBM POWER6 System	Approx Ratio
Year installed	1978	2009	
Architecture	Vector processor	Dual Cluster of scalar CPUs	
Number of CPUs	1	~9,000	9,000:1
Clock Speed	12.5 nsec (80 MHz)	0.21 nsec (4.7 GHz)	60:1
Peak perf per CPU	160 MFLOPS	18.8 GFLOPS	120:1
Peak perf per system	160 MFLOPS	~320 TFLOPS	2,000,000:1
Sustained performance	~50 MFLOPS	~20 TFLOPS	400,000:1
Memory	8 MBytes	~40 TBytes	5,000,000:1
Disk Space	2.5 GBytes	~1.2 PBytes	500,000:1

[http://www.ecmwf.int/services/computing/overview/supercomputer\\_history.html](http://www.ecmwf.int/services/computing/overview/supercomputer_history.html)



# Evolution of Forecasting Accuracy

## Anomaly correlation of 500hPa height forecasts



from ECMWF

LGK 2010

Bishop, 2010



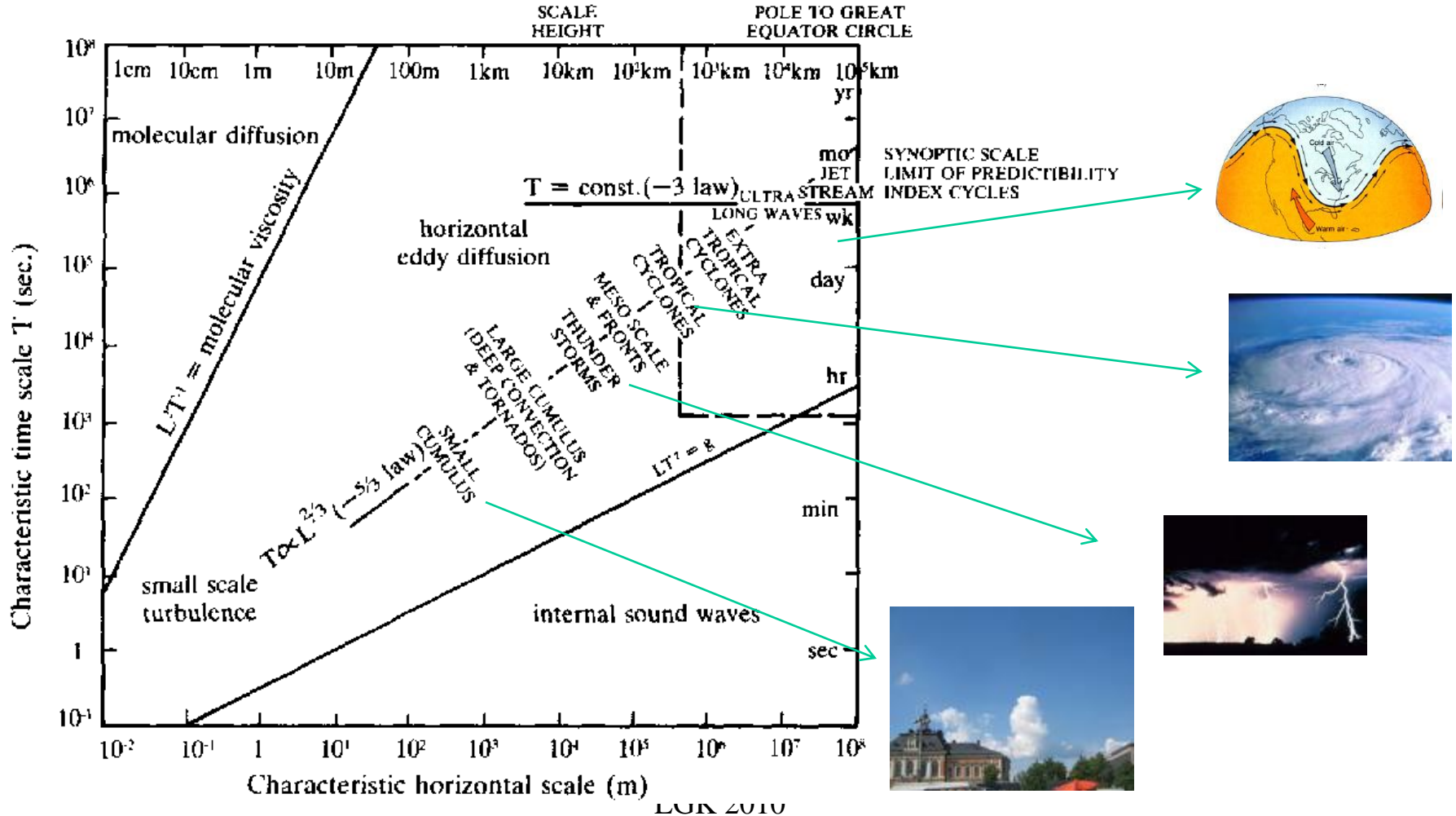
cfr0254 www.fotosearch.com

# Pausa (5 minutos)





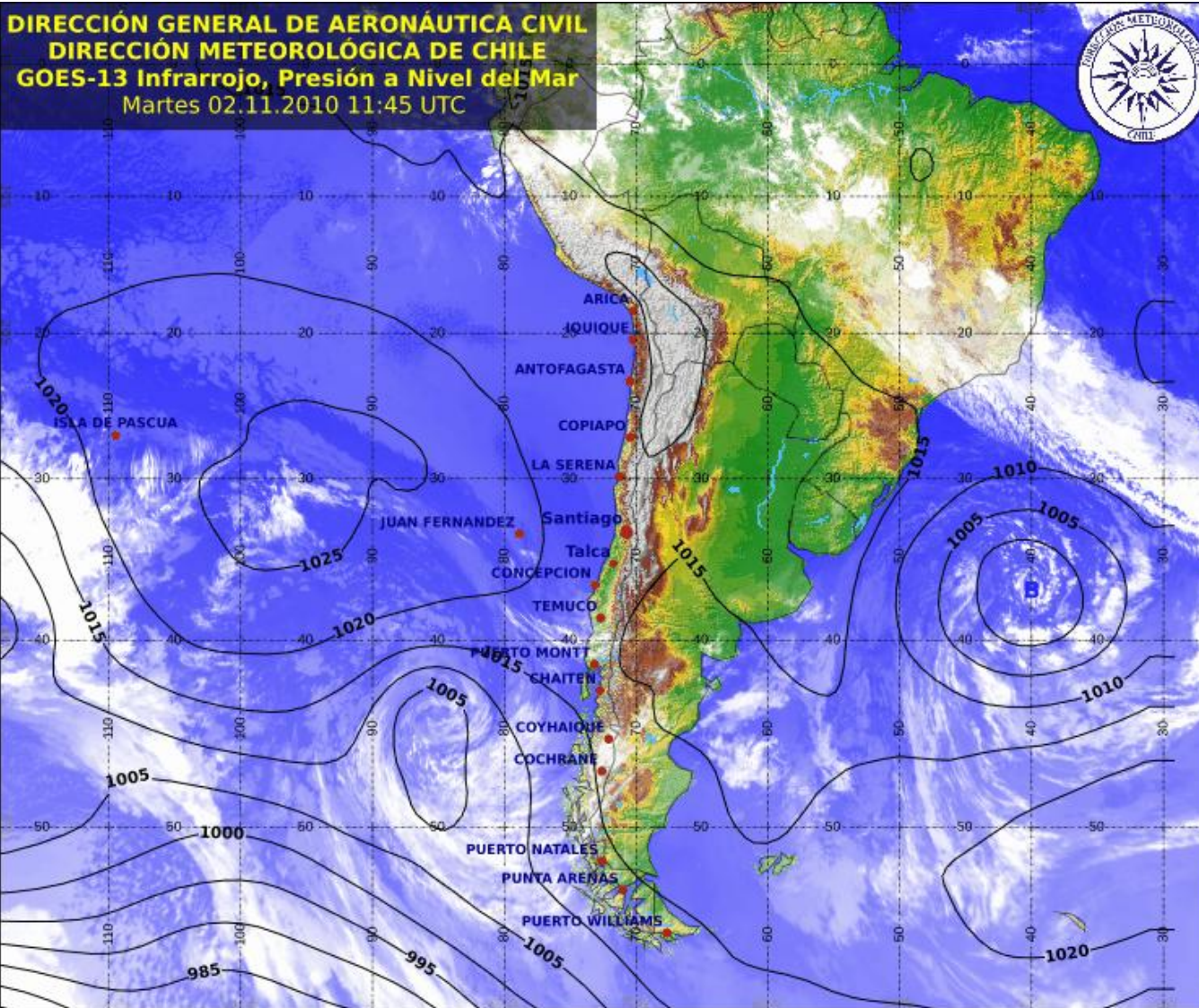
# Fenómenos atmosféricos cubren diversas escalas de tiempo y espacio



# Escala sinóptica



DIRECCIÓN GENERAL DE AERONÁUTICA CIVIL  
DIRECCIÓN METEOROLÓGICA DE CHILE  
GOES-13 Infrarrojo, Presión a Nivel del Mar  
Martes 02.11.2010 11:45 UTC



$$\begin{aligned}U &\sim 10 \text{ m s}^{-1} \\W &\sim 1 \text{ cm s}^{-1} \\L &\sim 10^6 \text{ m} \\H &\sim 10^4 \text{ m} \\\delta P/\rho &\sim 10^3 \text{ m}^2 \text{ s}^{-2} \\LIU &\sim 10^5 \text{ s}\end{aligned}$$

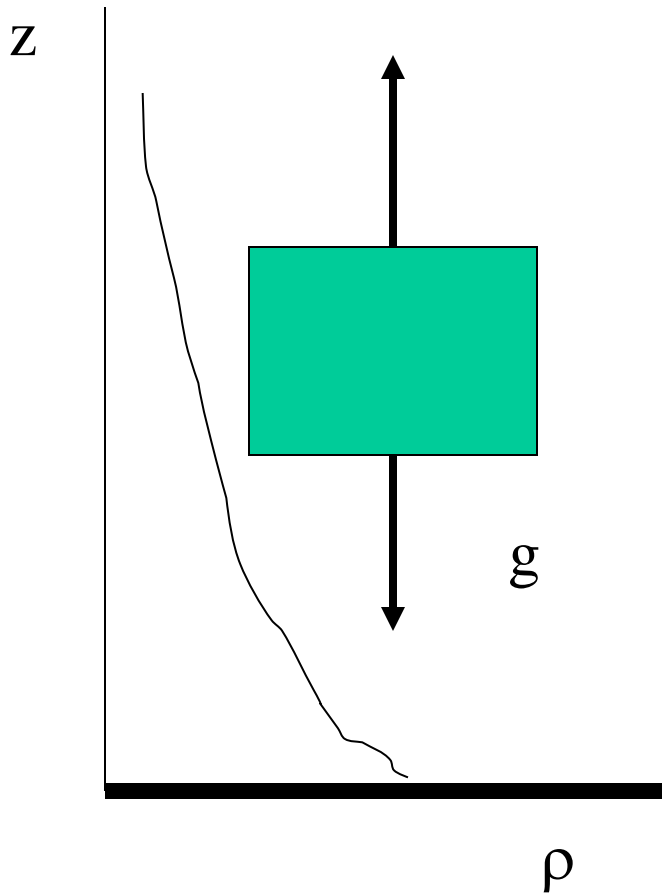
# Análisis de escala...a escala sinóptica

$U \sim 10 \text{ m s}^{-1}$	horizontal velocity scale
$W \sim 1 \text{ cm s}^{-1}$	vertical velocity scale
$L \sim 10^6 \text{ m}$	length scale [ $\sim 1/(2\pi)$ wavelength]
$H \sim 10^4 \text{ m}$	depth scale
$\delta P/\rho \sim 10^3 \text{ m}^2 \text{ s}^{-2}$	horizontal pressure fluctuation scale
$L/U \sim 10^5 \text{ s}$	time scale

**Table 2.2** *Scale Analysis of the Vertical Momentum Equation*

$z$ - Eq.	$Dw/Dt$	$-2\Omega u \cos \phi$	$-(u^2 + v^2)/a$	$= -\rho^{-1} \partial p / \partial z$	$-g$	$+F_{rz}$
Scales	$UW/L$	$f_0 U$	$U^2/a$	$P_0/(\rho H)$	$g$	$vWH^{-2}$
$\text{m s}^{-2}$	$10^{-7}$	$10^{-3}$	$10^{-5}$	10	10	$10^{-15}$

# Balance hidrostático



*“La atmósfera no se cae...”*

La fuerza de gravedad (hacia abajo) es compensada por el gradiente vertical de presión (hacia arriba)

$$\frac{\partial p}{\partial z} = -\rho g$$

# Aproximación geostrófica... escala sinóptica

$$\hat{x} : \frac{du}{dt} - \frac{uv \tan \varphi}{a} + \frac{uw}{a} = -\frac{1}{\rho} \frac{\partial p}{\partial x} + 2\Omega v \sin \varphi - 2\Omega w \cos \varphi$$

$$\frac{U}{L/U} - \frac{UU}{a} + \frac{UW}{a} = \frac{\Delta P}{\rho L} + fU - fW$$

$$10^{-4} \quad 10^{-5} \quad 10^{-8} \quad 10^{-3} \quad 10^{-3} \quad 10^{-6}$$

$$\hat{x} : -fv \approx -\frac{1}{\rho} \frac{\partial p}{\partial x}, \quad f = 2\Omega \sin \varphi$$

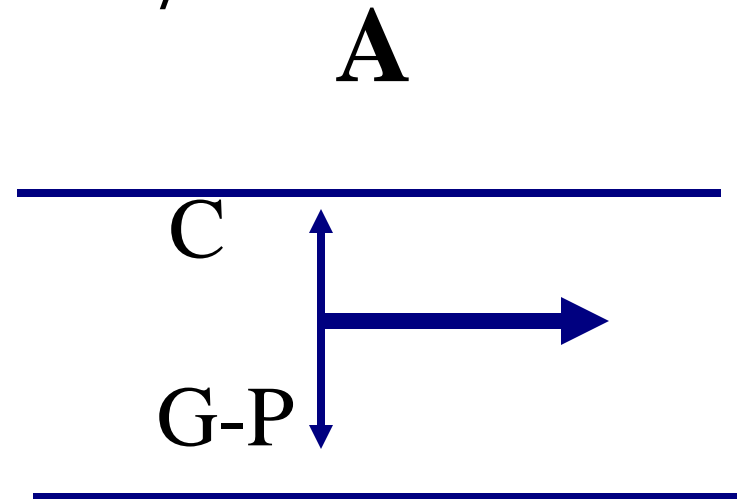
# Aproximación geostrófica

$$\hat{x} : -fv \approx -\frac{1}{\rho} \frac{\partial p}{\partial x}, \quad f = 2\Omega \sin \varphi$$

$$\hat{y} : fu \approx -\frac{1}{\rho} \frac{\partial p}{\partial y}$$

$$\vec{v}_{\text{g}} = \frac{1}{\rho f} \hat{z} \times \nabla p$$

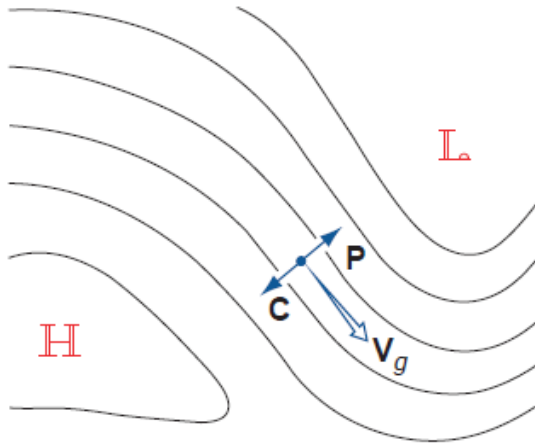
Vale en ausencia de fricción y curvatura con un 10-15% de error



**B**

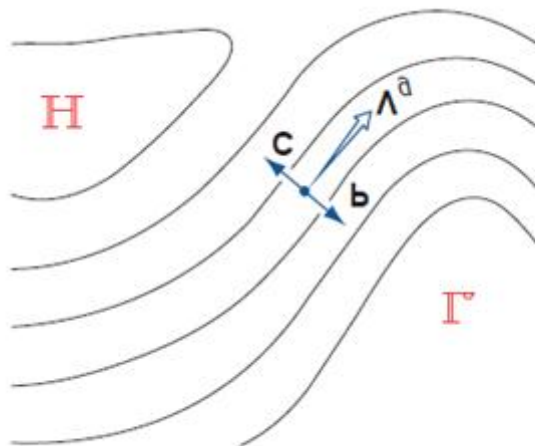
$f < 0$ , HS

# Viento geostrófico en HS y HN



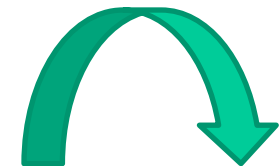
HN: $f > 0$

Circulación ciclónica

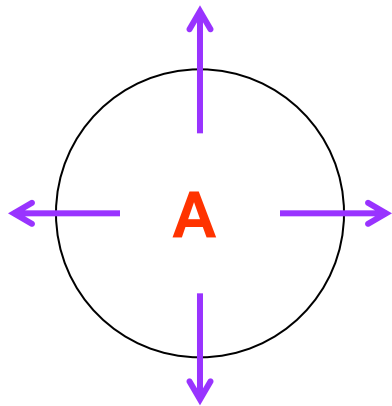


HN: $f < 0$

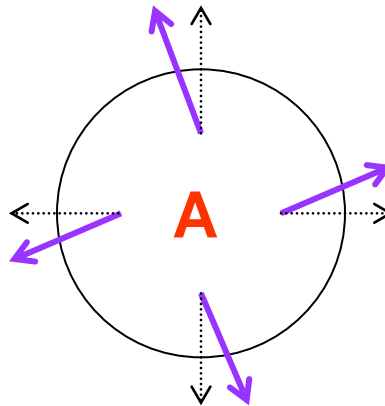
Circulación ciclónica



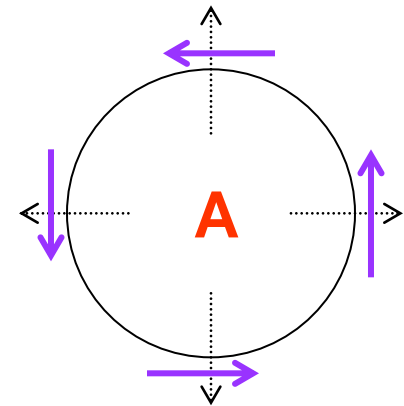
¿Como circula el aire en torno a los centros de alta y baja presión (HS)?



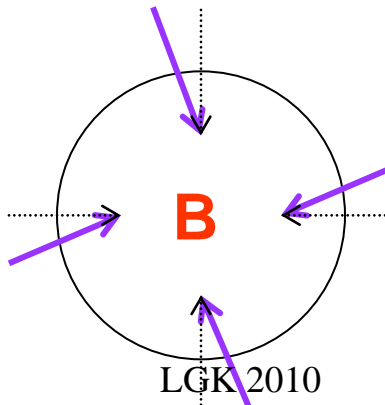
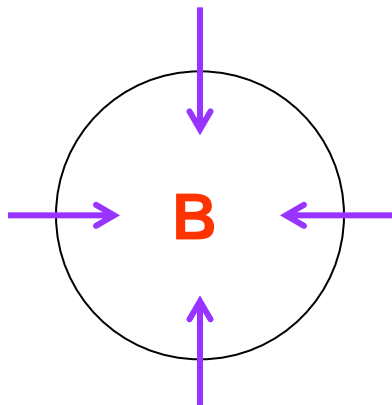
En el ecuador o en planeta sin rotación



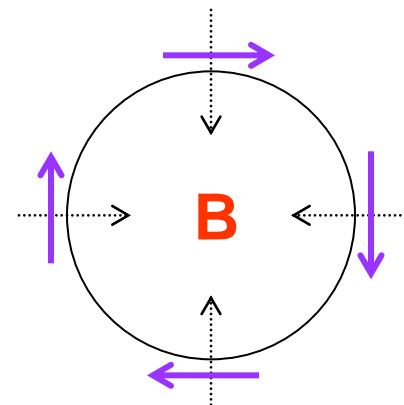
Muy cerca del ecuador o rotación planetaria muy lenta



Lejos del ecuador ( $>20^\circ$ ) para movimientos lentos



LGK 2010

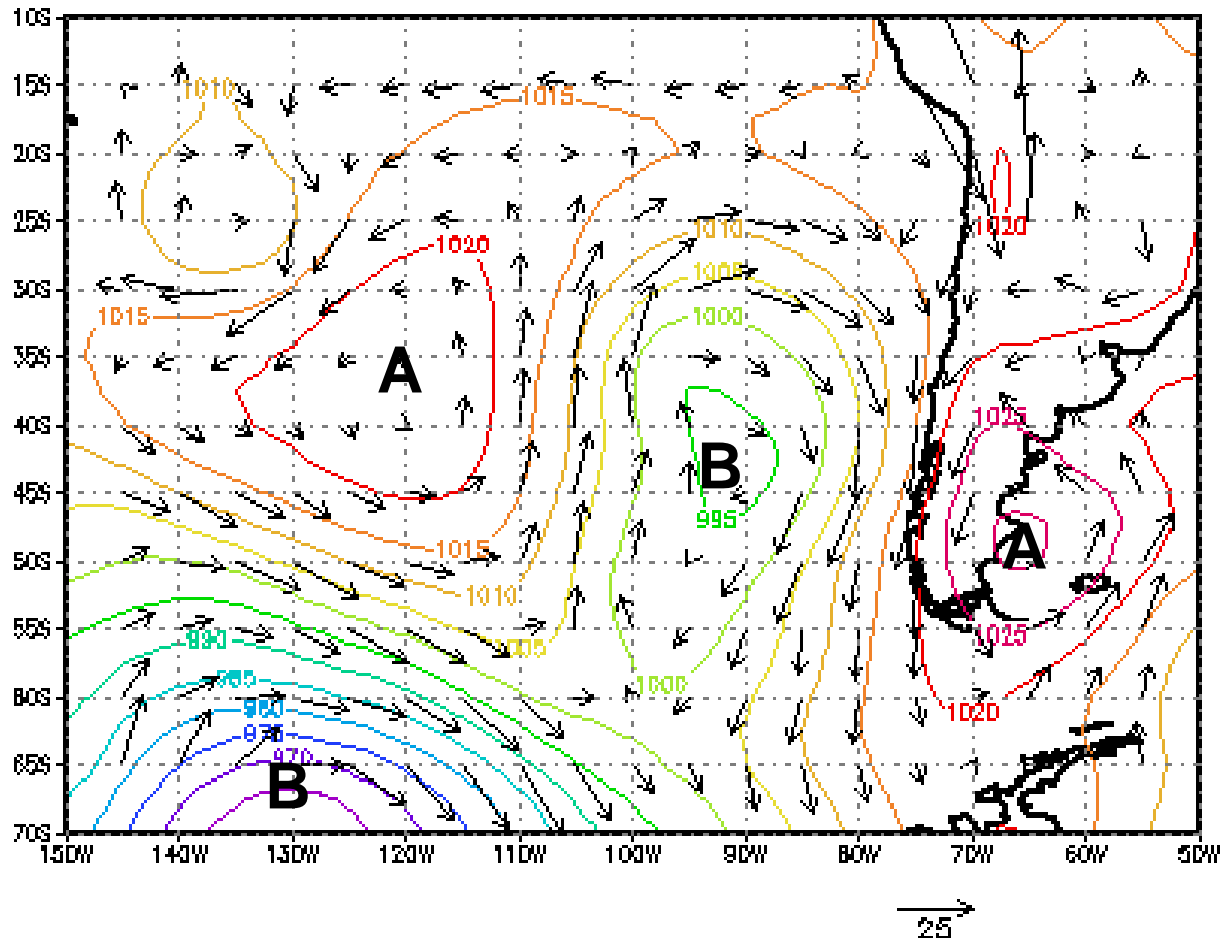




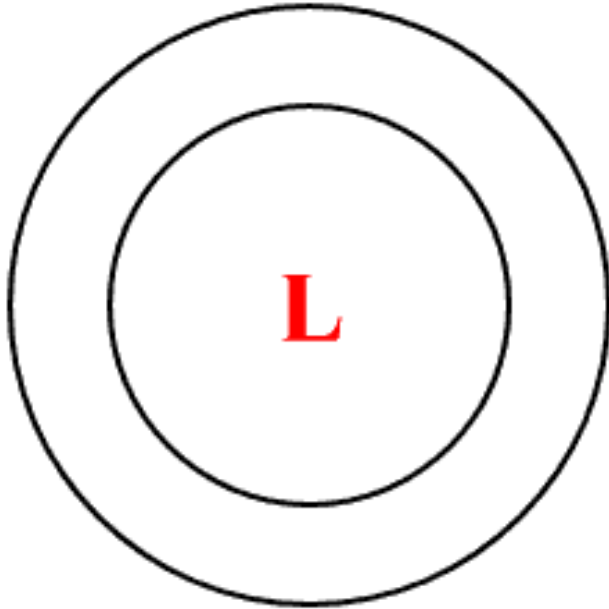
# Introducción a la Meteorología – Dinámica

## UCh/FCFM/DGF – R. Garreaud

Contornos: líneas de igual presión  
Flechas: vector viento

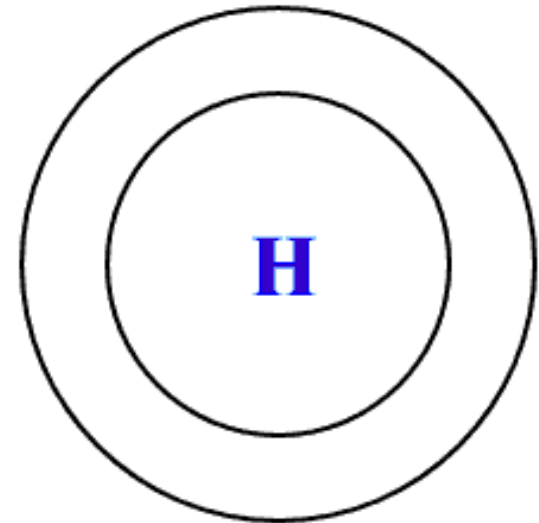


# Efecto de la curvatura: viento gradiente

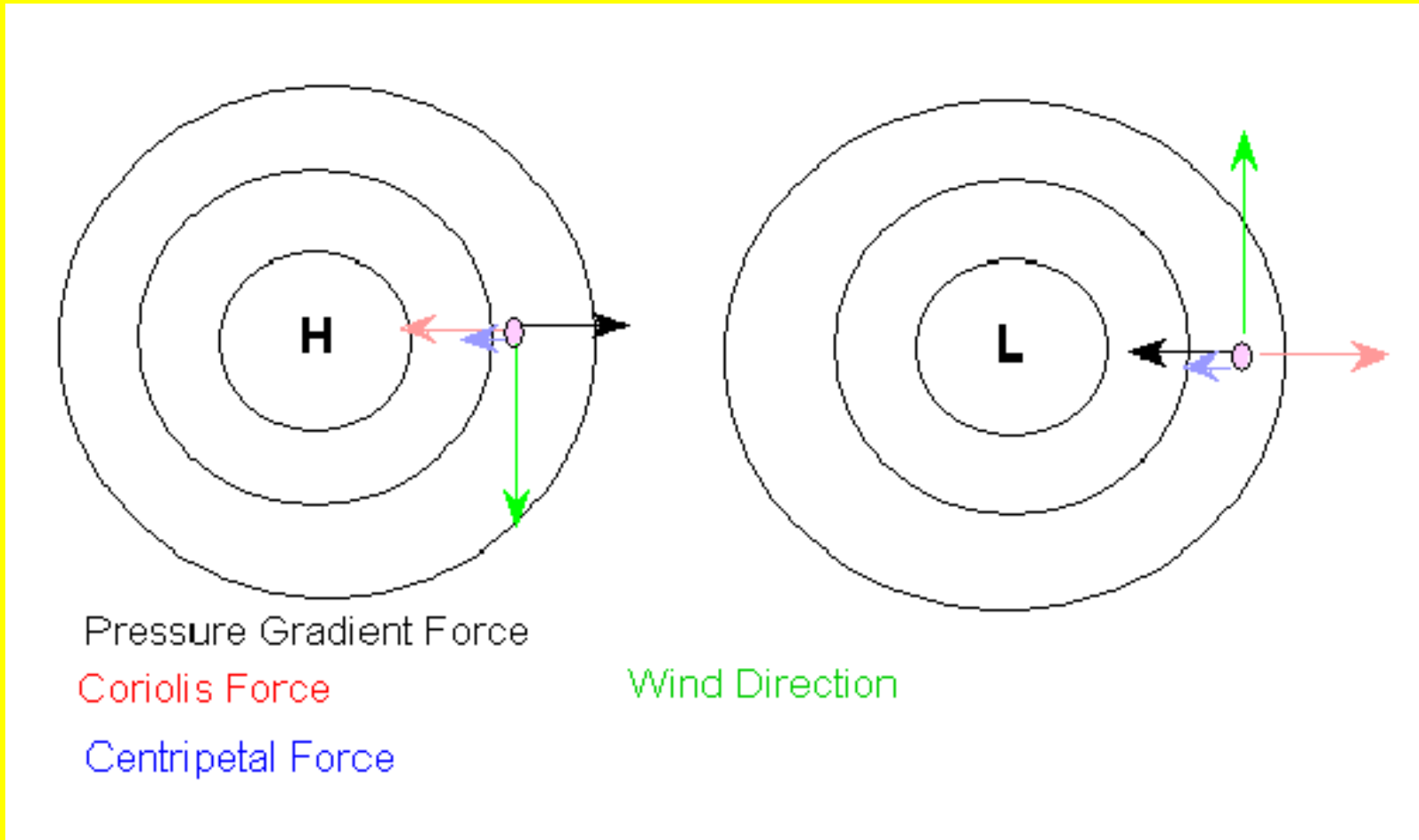


Condición sub-geostrófica  
 $V_{grad} < V_{geostrof}$

Condición super-geostrófica  
 $V_{grad} > V_{geostrof}$

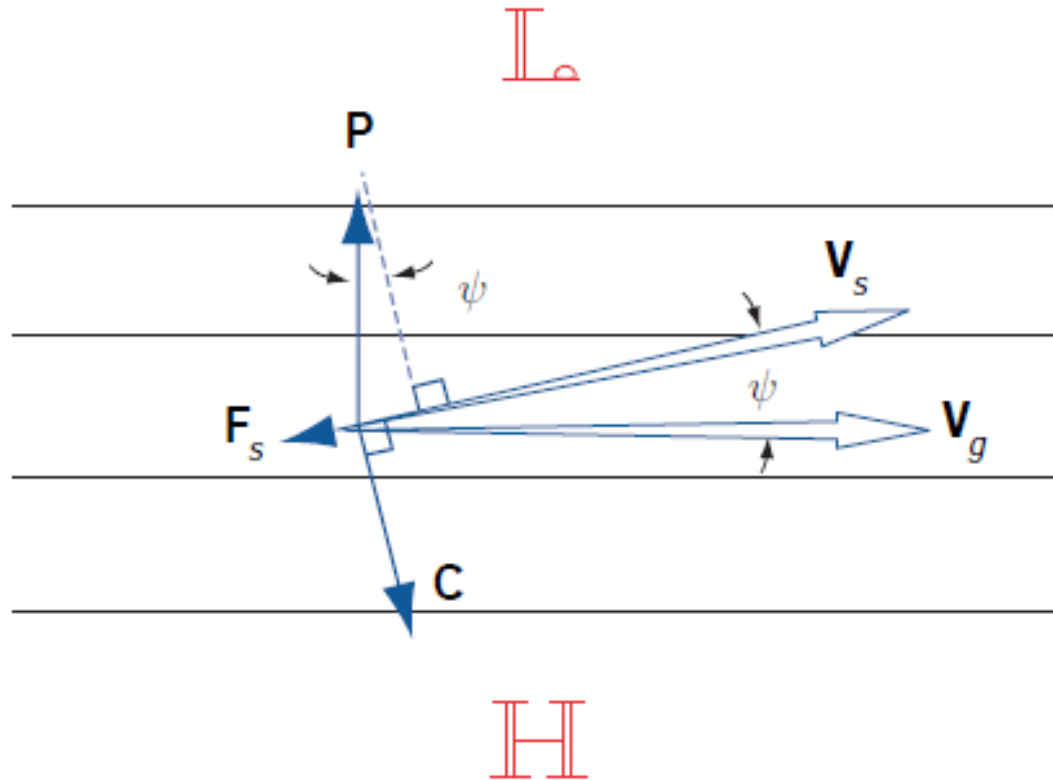


# ¿Cómo es el efecto de la curvatura en el HS?



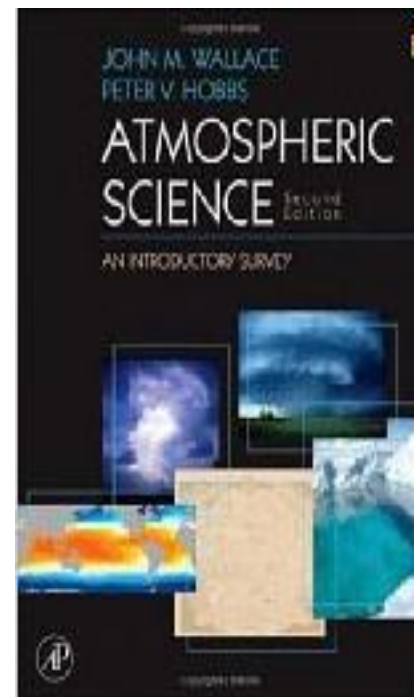
# ¿Cómo se llenan las bajas?

(Un efecto de la fricción en la superficie)



# Lecturas de hoy

- Obligatoria
  - Wallace and Hobbs, Atmospheric Science (Ch. ~7)
- Más sobre nubes y su formación
  - GF501 (Dinámica)
- Complementarias
  - Holton, J. An introduction to dynamic meteorology (Ch. 1 & 2)
  - Richardson's dream:  
<http://maths.ucd.ie/~plynch/Dream/Dream.html>



Próximamente...+DINÁMICA